

Figura 5.1 Strutture palpabili sulla superficie anteriore del collo, con i corrispondenti livelli vertebrali.



Ellis Anatomia Clinica

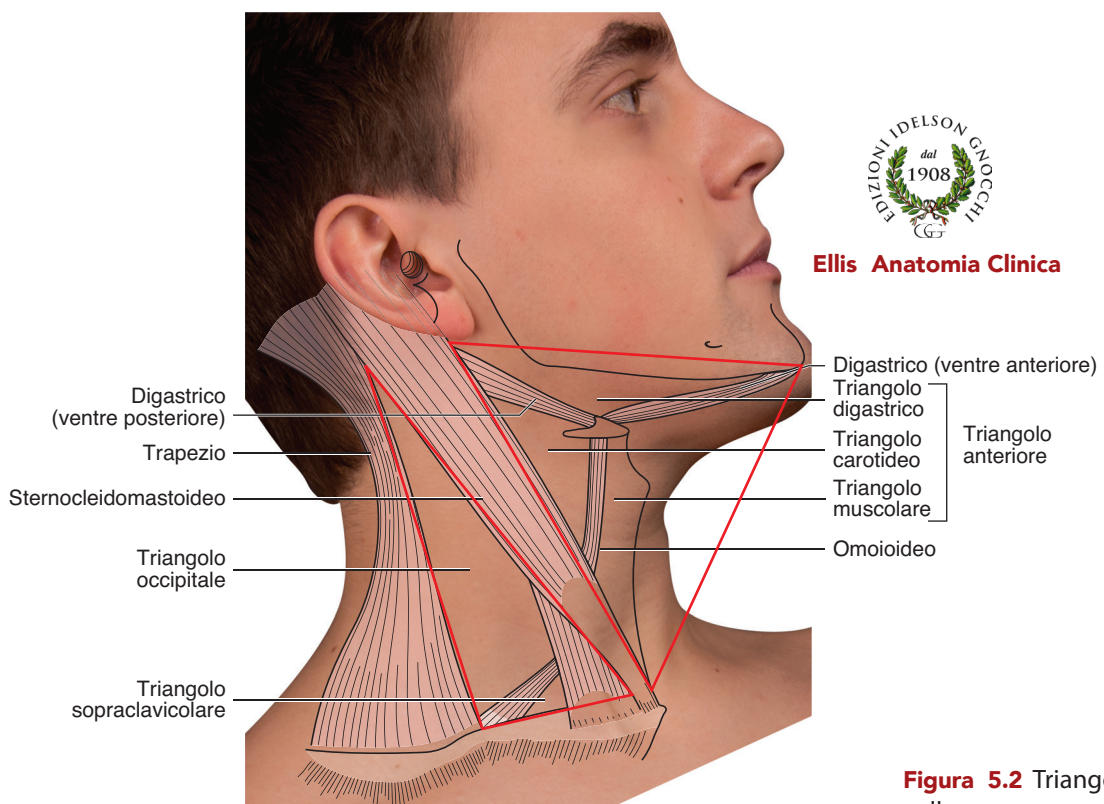
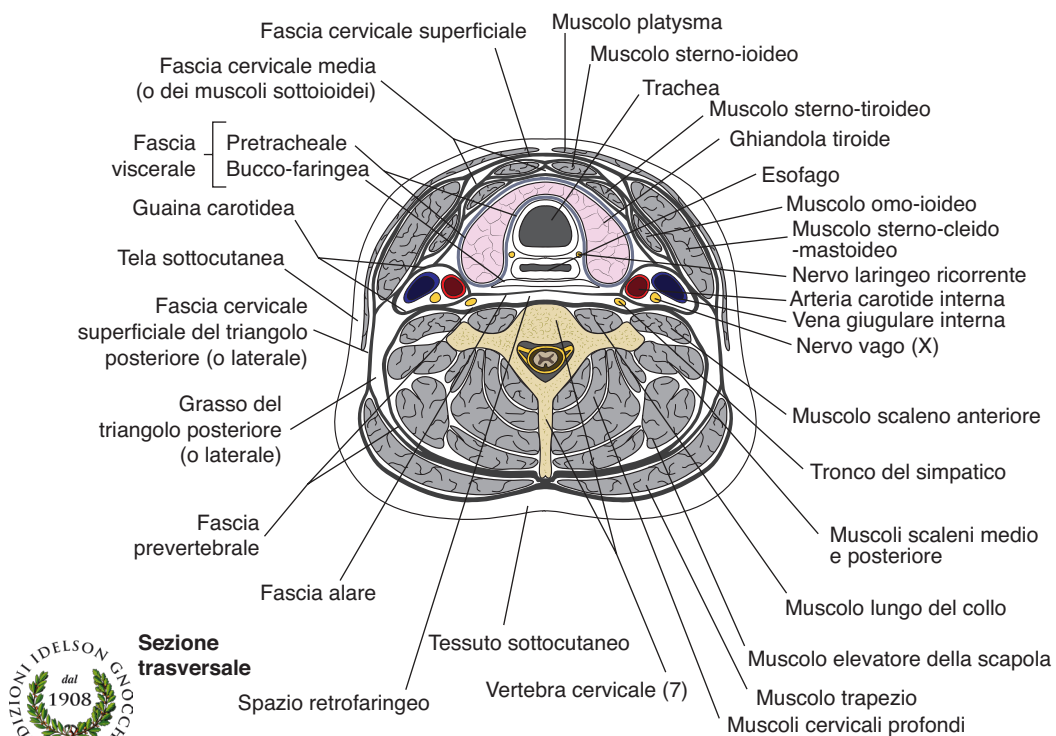


Figura 5.2 Triangoli del collo.



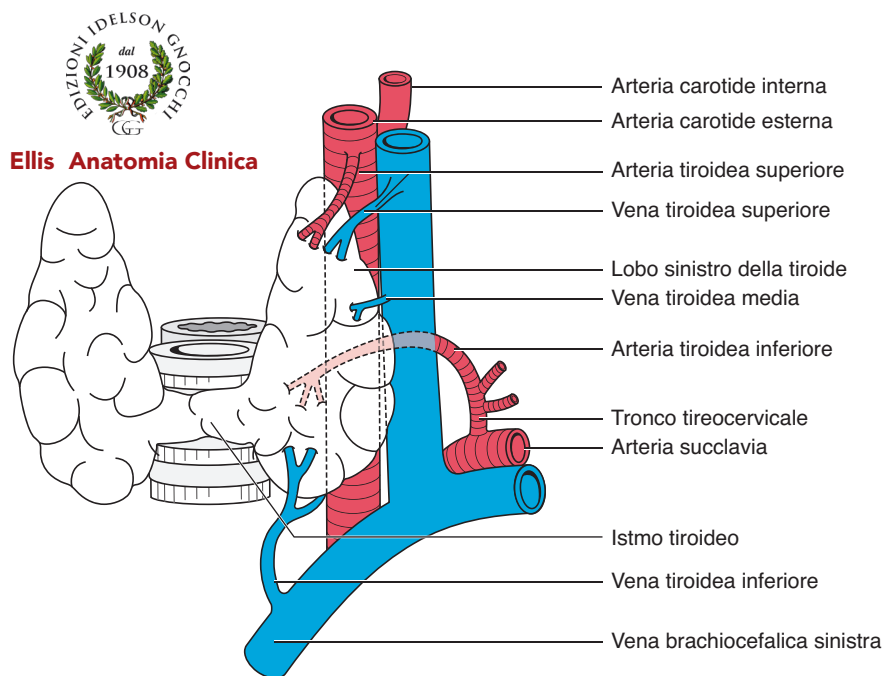


Figura 5.4 Vascolarizzazione della ghiandola tiroide.



Ellis Anatomia Clinica

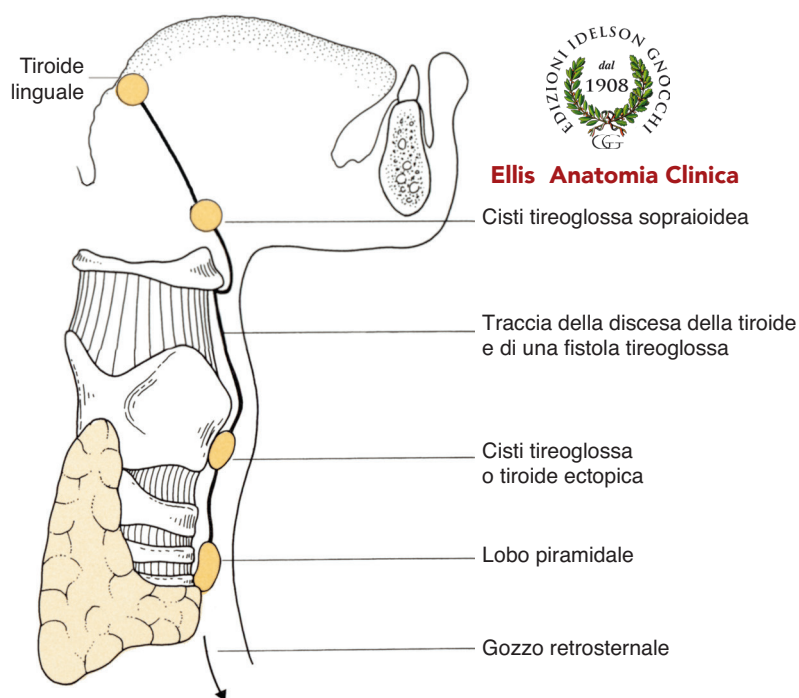


Figura 5.5 Discesa della tiroide, che mostra possibili siti di tessuto tiroideo ectopico o cisti tireoglosse, nonché il decorso di una fistola tireoglossa (la freccia mostra l'ulteriore discesa della tiroide che può avere luogo in senso retrosternale nel mediastino superiore).



Ellis Anatomia Clinica

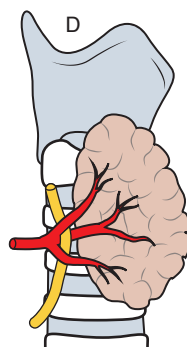
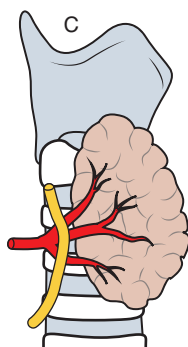
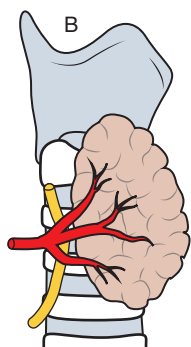
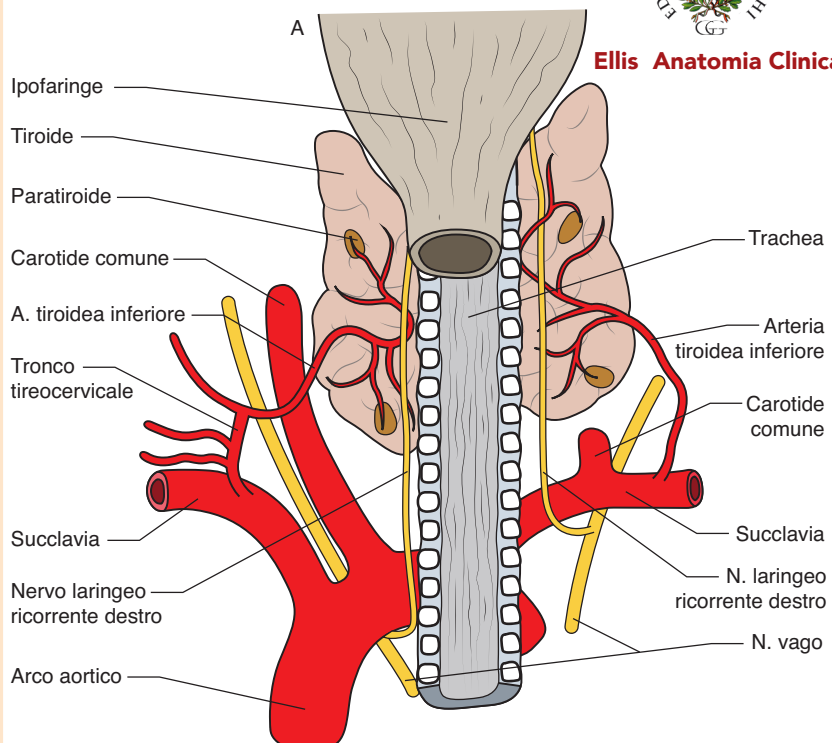


Figura 5.6 Rapporto del nervo laringeo ricorrente (n.l.r.) con la ghiandola tiroide e l'arteria tiroidea inferiore (a.t.i.). (a) Il n.l.r. di sinistra origina al di sotto dell'arco aortico, poco dopo il punto in cui si stacca la carotide comune; il n.l.r. di destra invece si origina al di sotto della succlavia di destra, poco prima del punto in cui si stacca la carotide comune. (b) Il nervo si trova di solito in profondità rispetto all'a.t.i. ma può anche (c) trovarsi superficialmente rispetto ad essa oppure può (d) passare attraverso i suoi rami. Nei disegni (b), (c) e (d) il lobo laterale della tiroide è idealmente spinto in avanti, come durante la tiroidectomia.

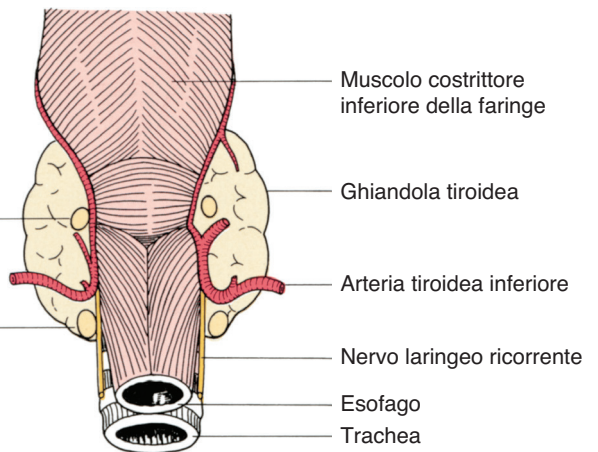


Ellis Anatomia Clinica

Ghiandole paratiroidi
superiori

Ghiandole paratiroidi
inferiori

Figura 5.7 Siti normali
delle ghiandole paratiroidi (faccia posteriore).





Ellis Anatomia Clinica

Sito consueto della paratiroide
inferiore in relazione
all'arteria tiroidea inferiore

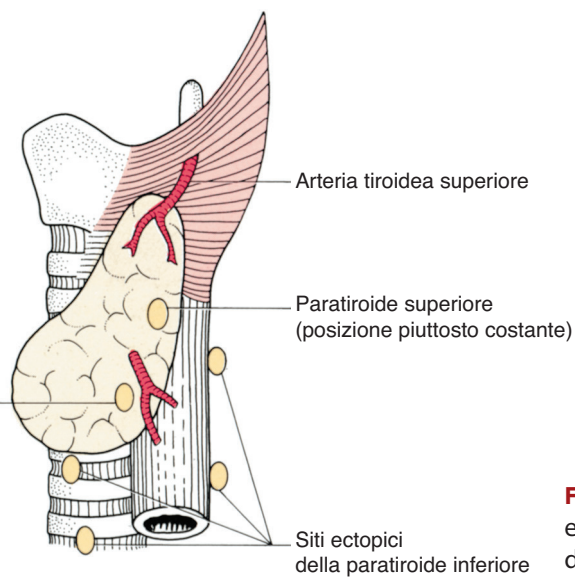


Figura 5.8 Siti normali ed ectopici delle ghiandole paratiroidi (vista laterale).

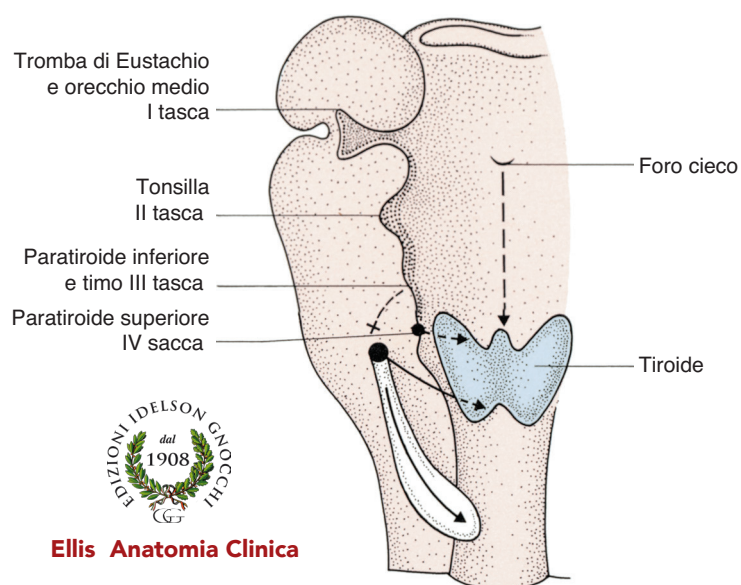


Figura 5.9 Sviluppo delle tasche branchiali. Si osservi che la paratiroide inferiore migra verso il basso dalla terza tasca, mentre quella superiore (quarta tasca) rimane stazionaria.

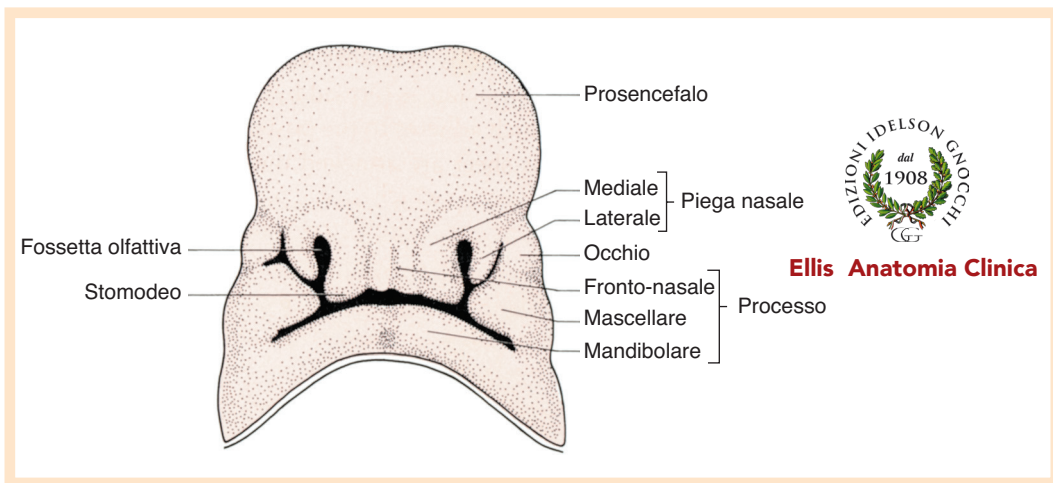


Figura 5.10 Aspetto ventrale di una testa fetale che mostra i tre processi, frontonasale, mascellare e mandibolare, da cui derivano il volto, il naso e le mascelle.

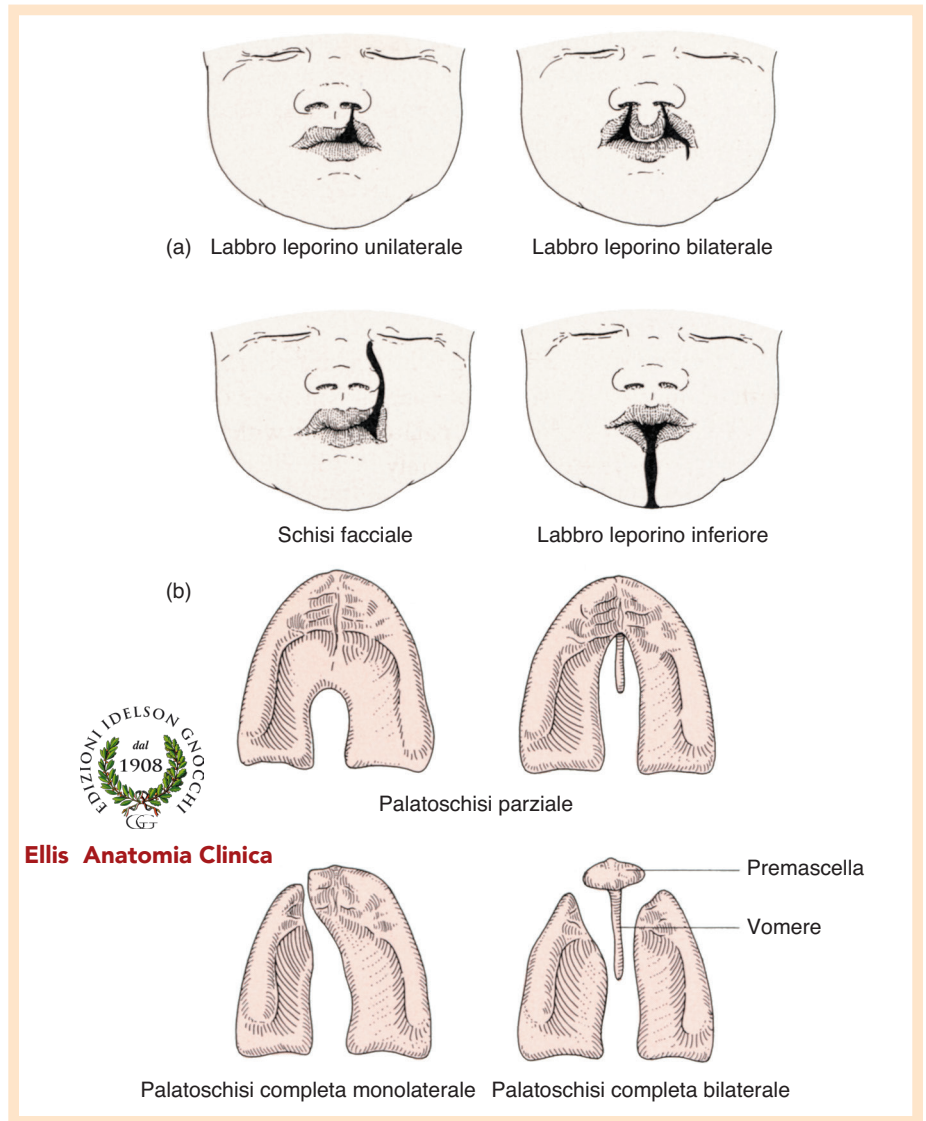


Figura 5.11 Tipi di (a) labbro leporino e (b) palatoschisi.

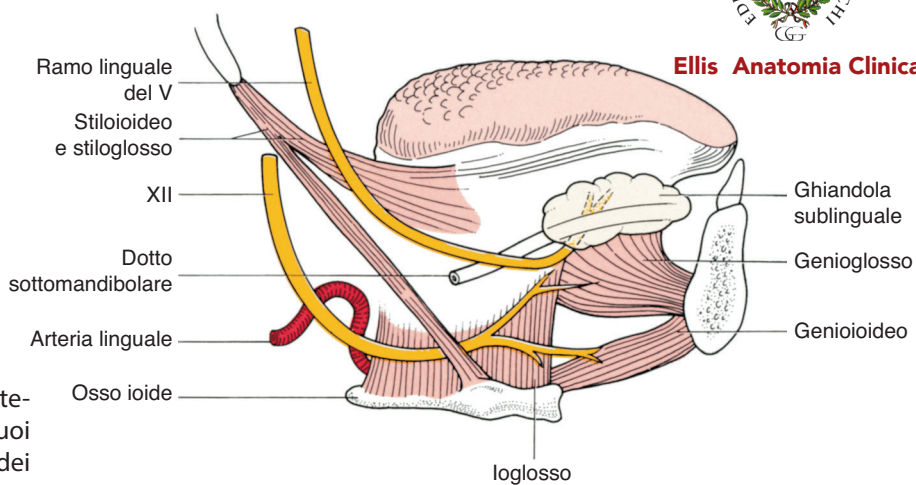


Figura 5.12 Veduta laterale della lingua, dei suoi muscoli estrinseci e dei nervi.



Ellis Anatomia Clinica

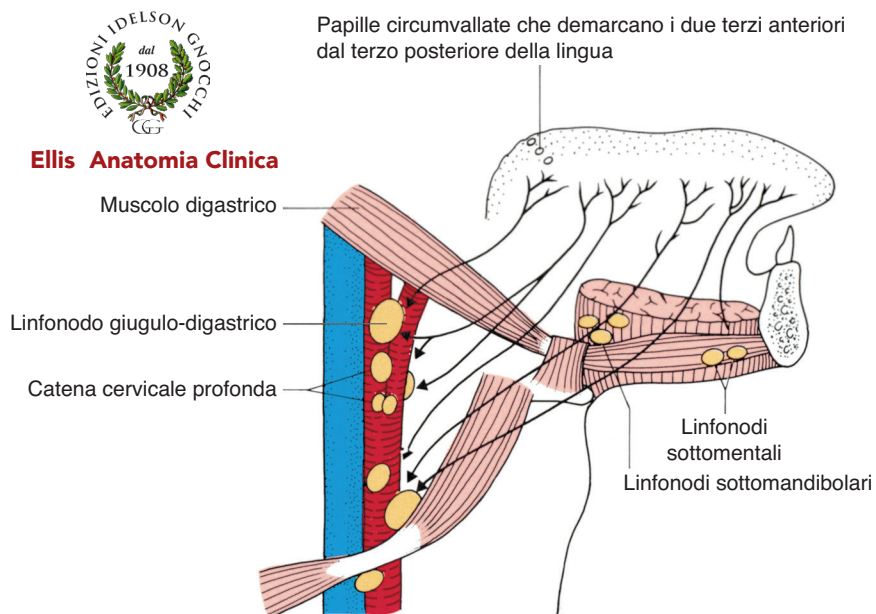


Figura 5.13 Drenaggio linfatico della lingua. Si osservino due punti. (i) La parte anteriore della lingua tende a drenare la linfa ai linfonodi in basso lungo la catena cervicale profonda, mentre la parte posteriore la drena verso la catena superiore. (ii) I due terzi anteriori della lingua drenano unilateralmente, il terzo posteriore bilateralmente.

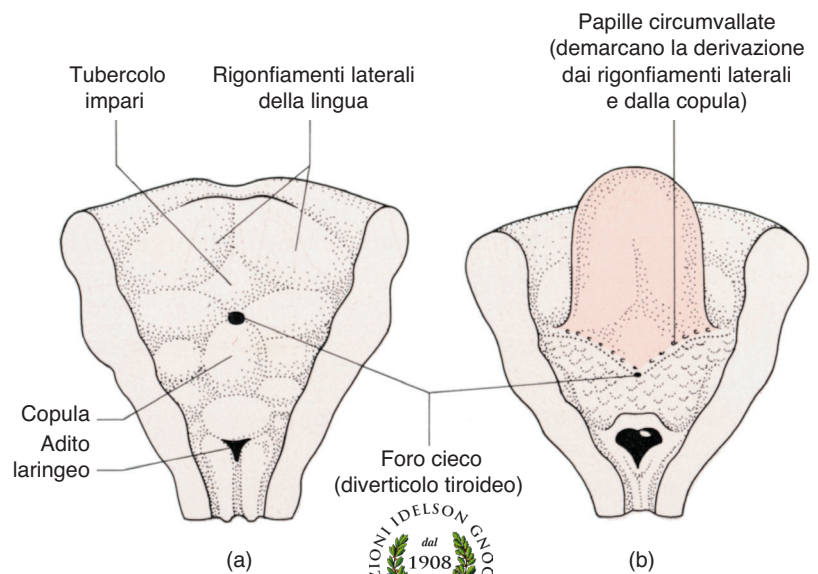


Figura 5.14 Fasi nello sviluppo della lingua.



Ellis Anatomia Clinica

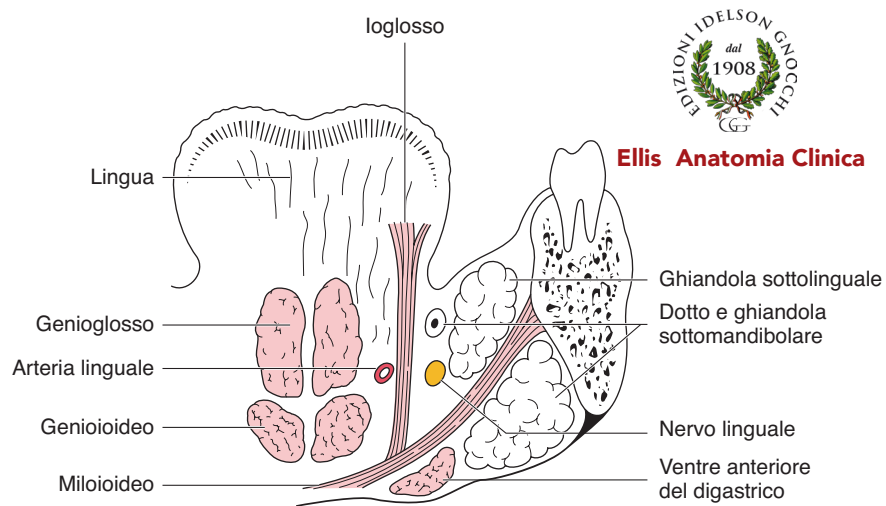
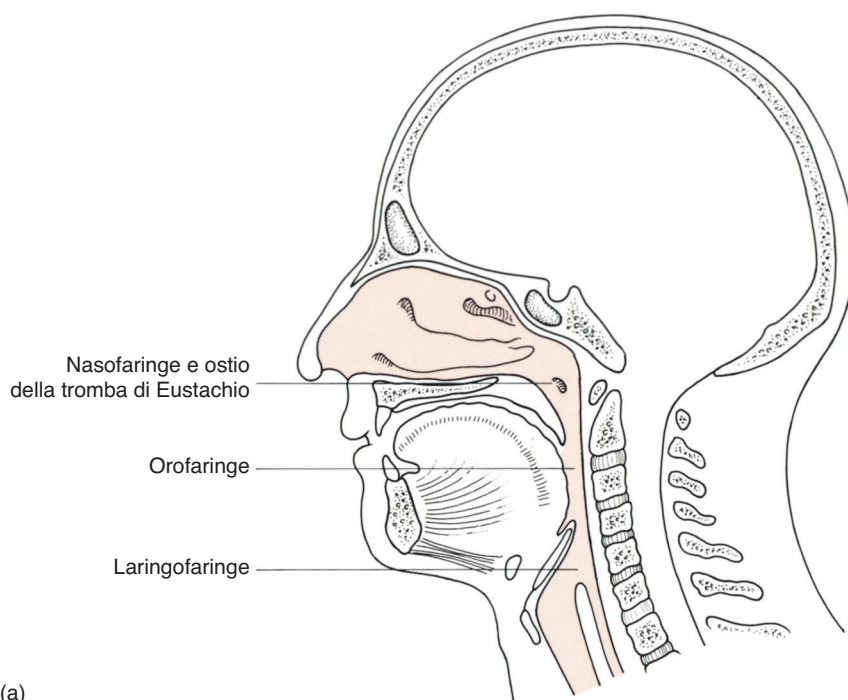
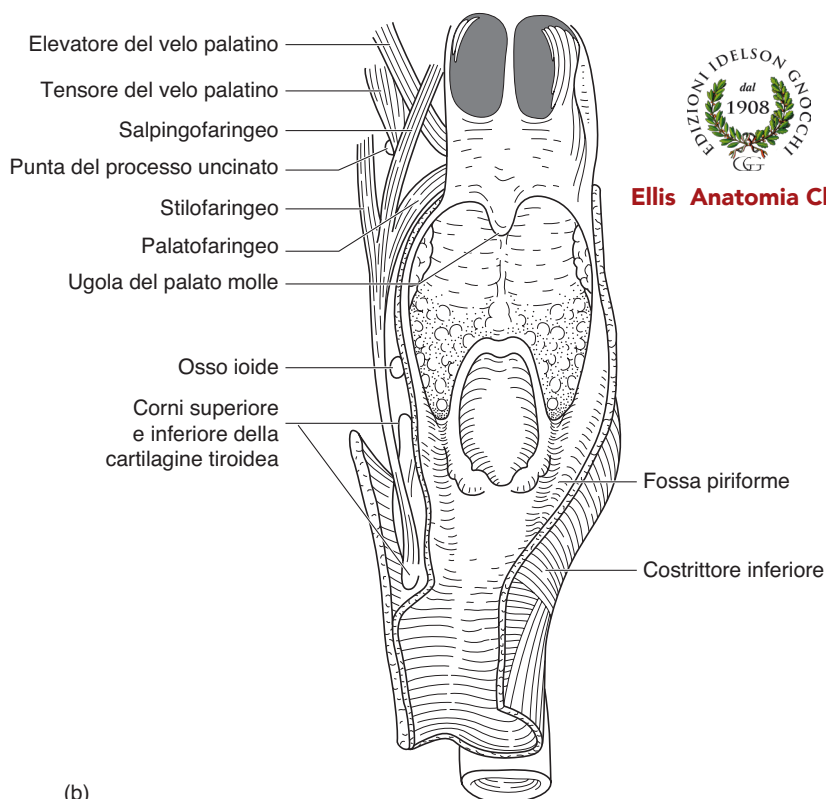


Figura 5.15 Sezione coronale del pavimento della bocca.



(a)



(b)



Ellis Anatomia Clinica

Figura 5.16 (a) Sezione sagittale schematica attraverso la testa e il collo per mostrare le suddivisioni della faringe. (b) Interno della faringe visto da dietro dopo la rimozione della parete posteriore della faringe.

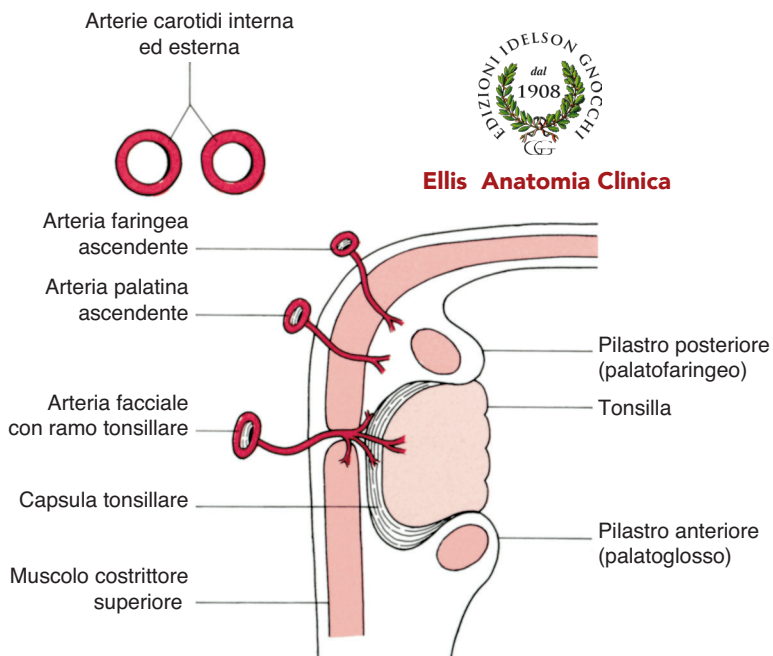


Figura 5.17 Diagramma della tonsilla palatina e suoi rapporti - in sezione orizzontale.

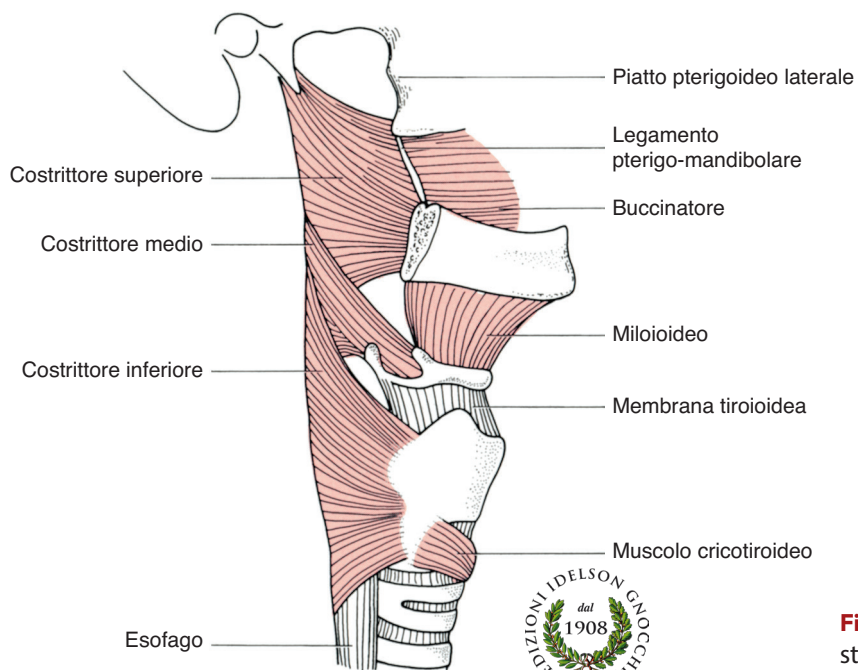
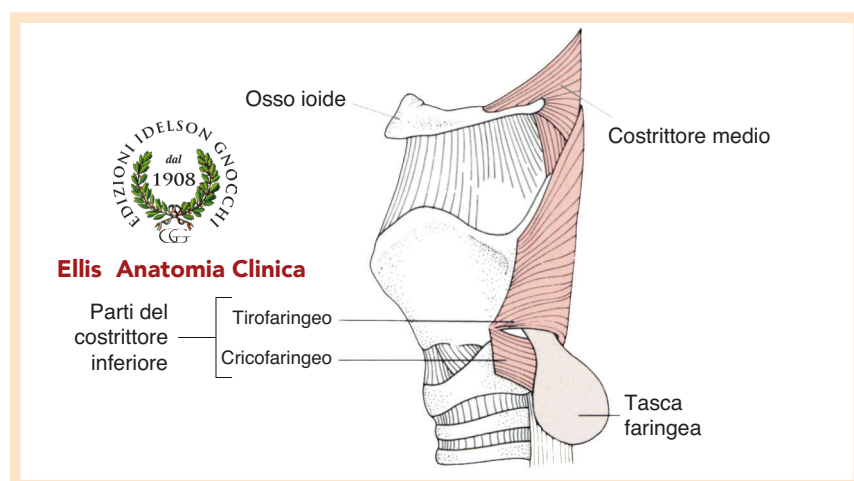
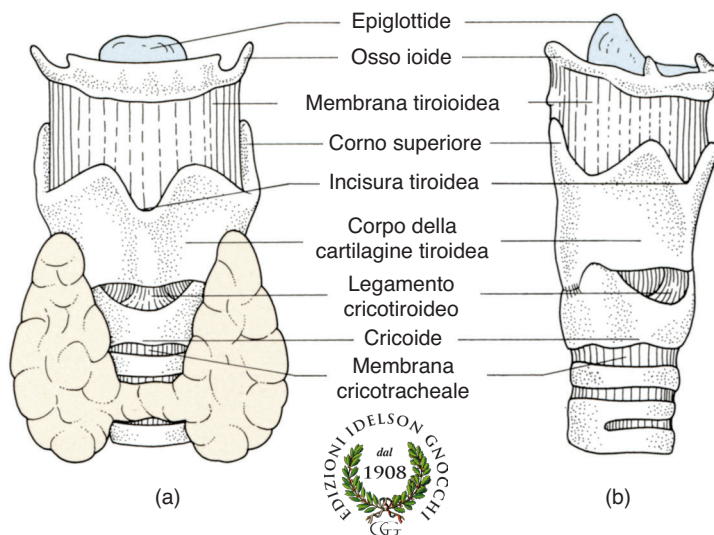


Figura 5.18 Muscoli co-
strittori della faringe.

Figura 5.19 Tasca faringea che emerge tra le due componenti del muscolo costrittore inferiore.





Ellis Anatomia Clinica

Figura 5.20 Visione esterna della laringe. (a) Faccia anteriore. (b) Faccia antero-laterale (dopo rimozione della tiroide).



Ellis Anatomia Clinica

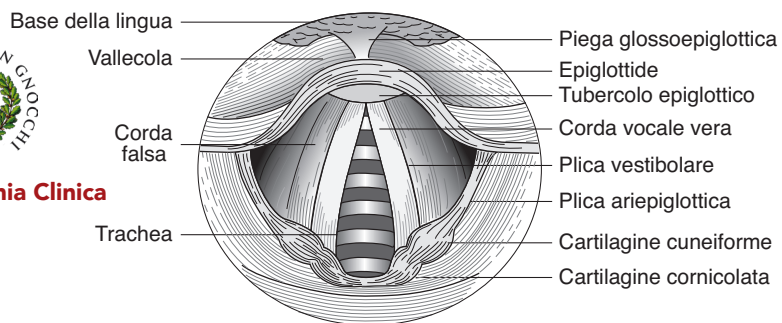
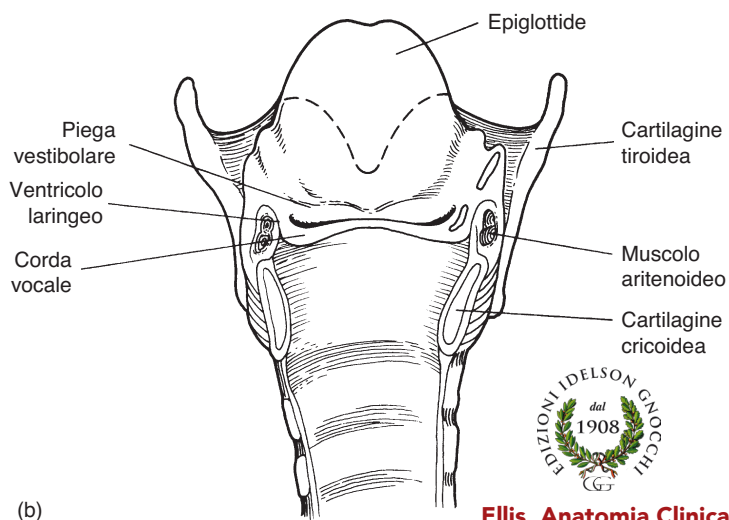
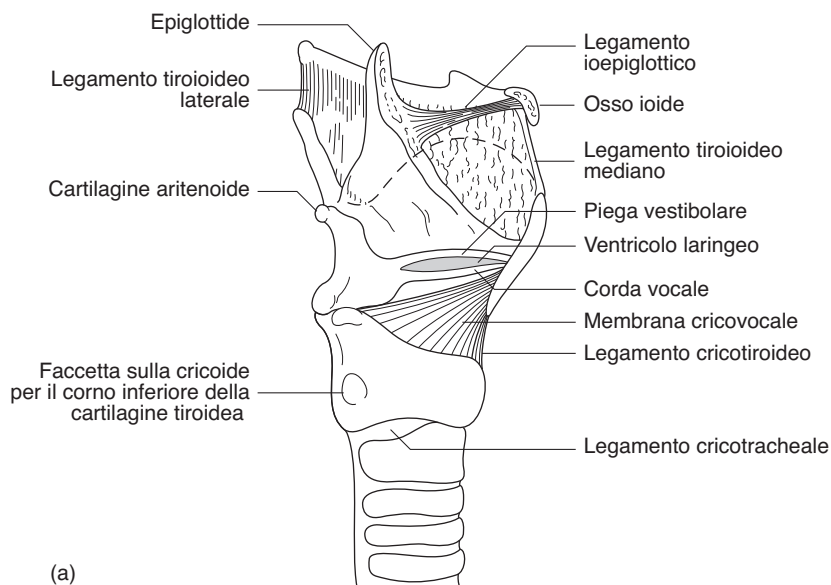


Figura 5.21 La laringe vista con la laringoscopia.

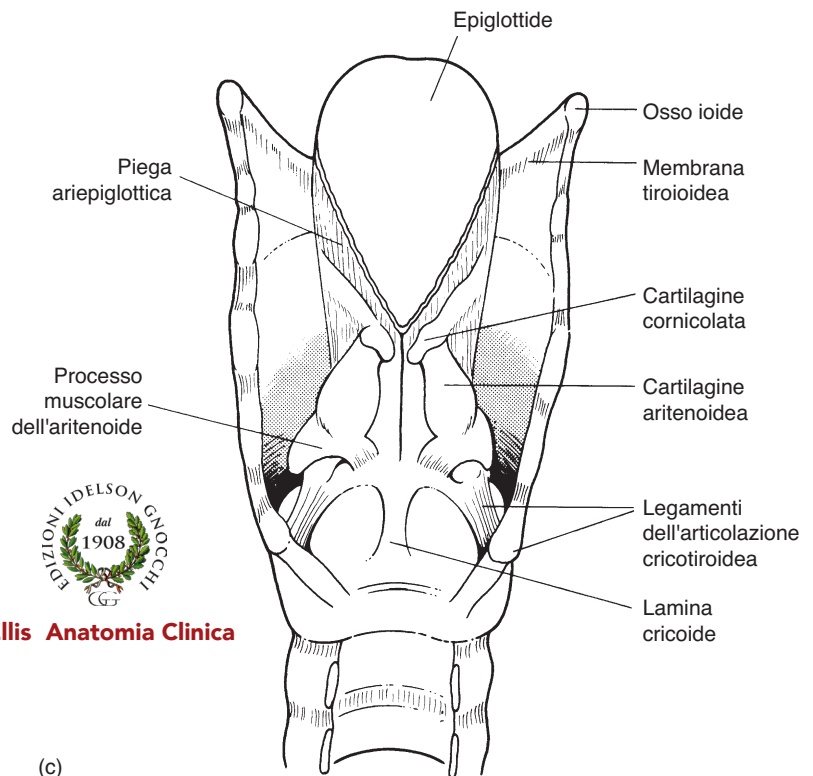


Ellis Anatomia Clinica



Figura 5.22 (a) Struttura interna della laringe - la lamina della cartilagine tiroidea è stata sezionata. (b) La laringe, sezionata dal lato posteriore, con la cartilagine cricoide divisa, per mostrare le corde vocali vere e false con il ventricolo laringeo in mezzo.

segue



segue Figura 5.22 (c) Le cartilagini e i legamenti della laringe visti dal retro.

(c)



Ellis Anatomia Clinica

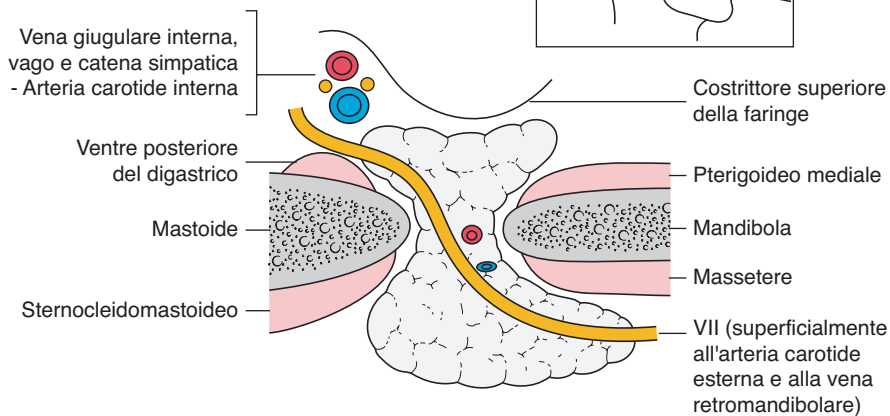
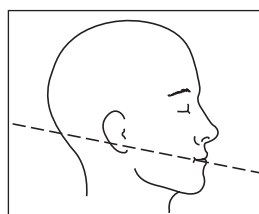
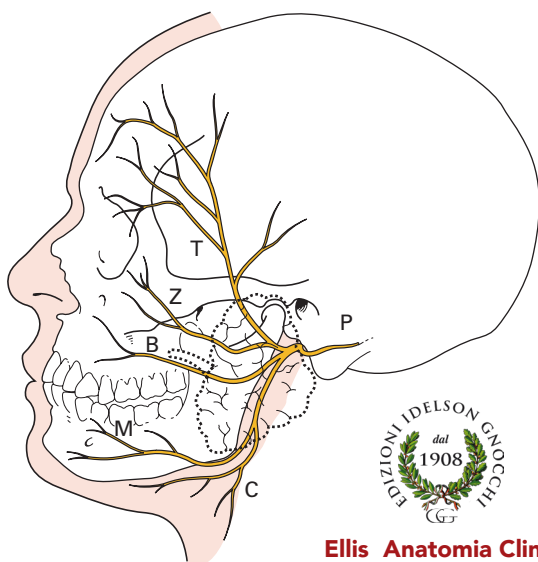


Figura 5.23 La parotide e strutture adiacenti in una sezione schematica orizzontale - il nervo facciale è la più superficiale delle strutture che attraversano la ghiandola (la linea di sezione è illustrata nella testa disegnata nel riquadro).



Ellis Anatomia Clinica

Figura 5.24 Rami del nervo facciale che attraversano la ghiandola parotide.

T: temporale; Z: zigomatico; B: buccale; M: mandibolare; C: cervicale; P: posteriore.

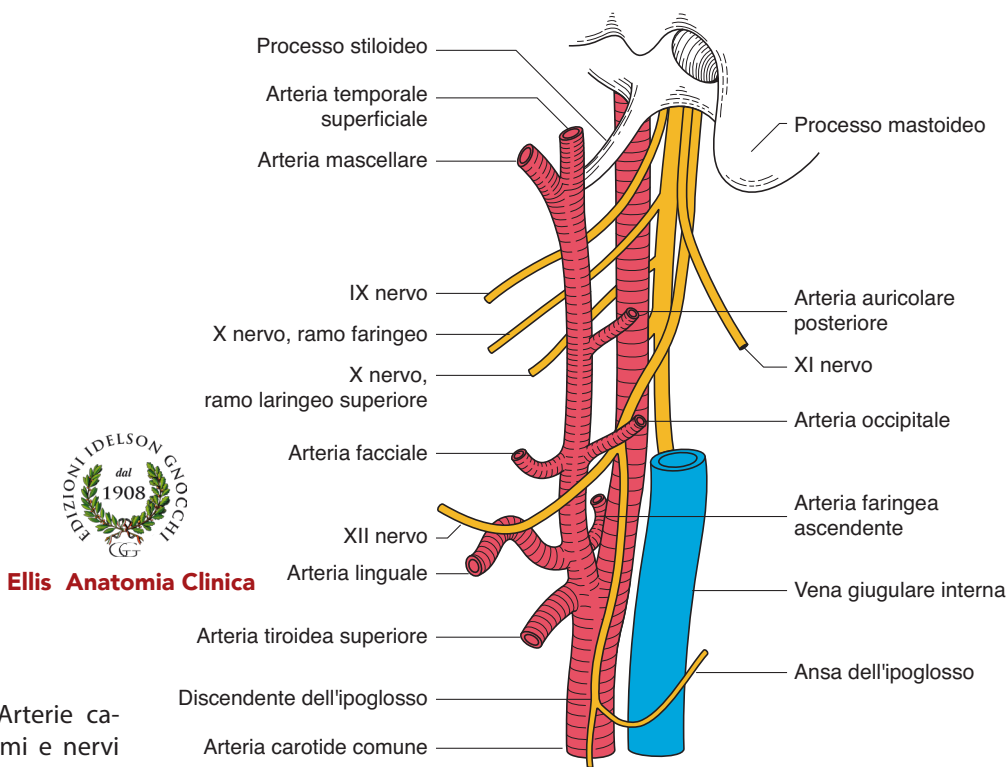


Figura 5.25 Arterie carotidi, loro rami e nervi collegati.

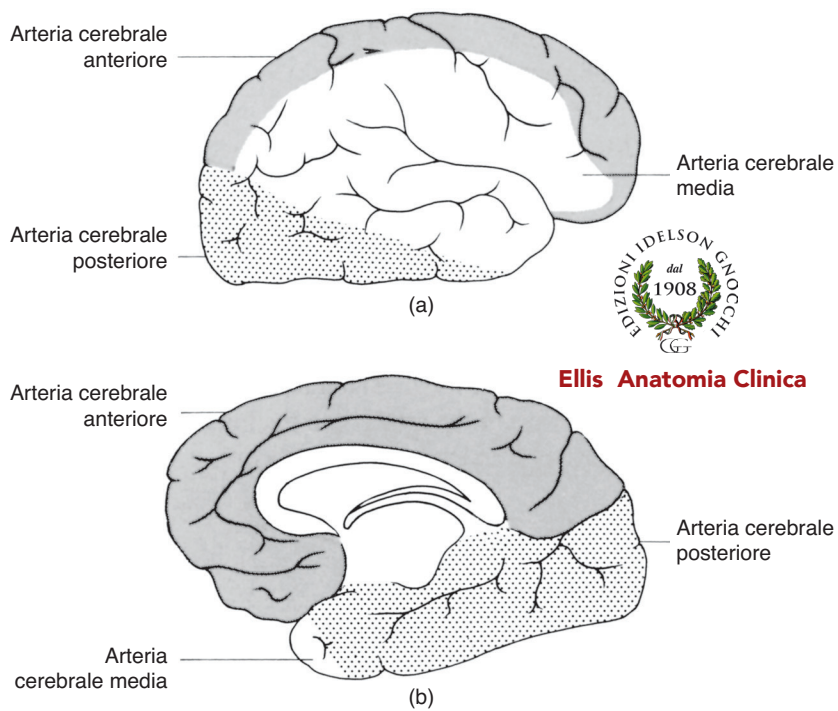
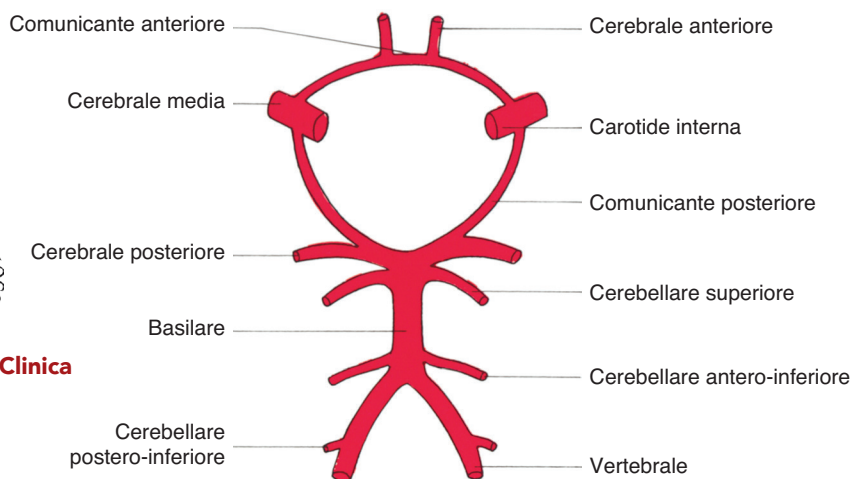


Figura 5.26 Aree di irrorazione arteriosa della corteccia cerebrale. Emisfero cerebrale destro. (a) Aspectto laterale. (b) Aspectto mediale.



Ellis Anatomia Clinica

Figura 5.27 Circolo di Willis.



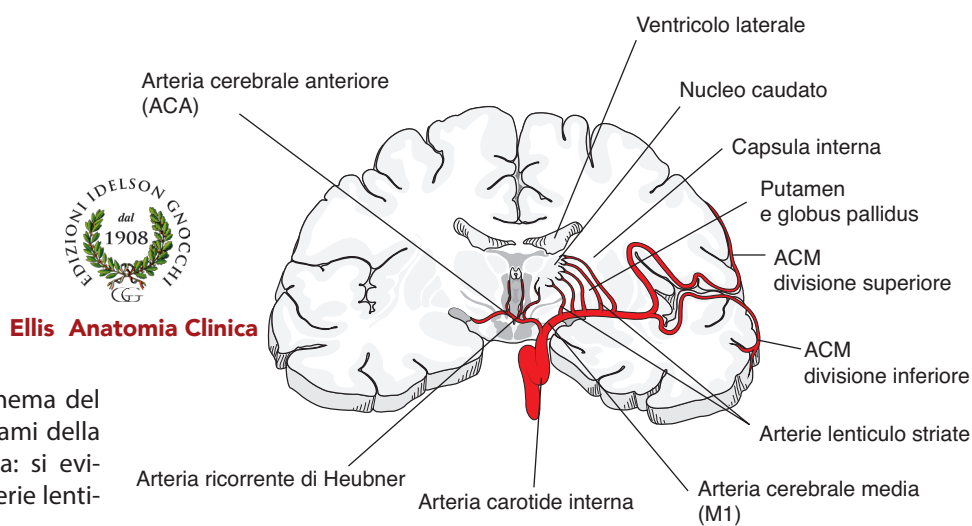


Figura 5.28 Schema del decorso e dei rami della cerebrale media: si evidenziano le arterie lenticolo-striate.



Ellis Anatomia Clinica

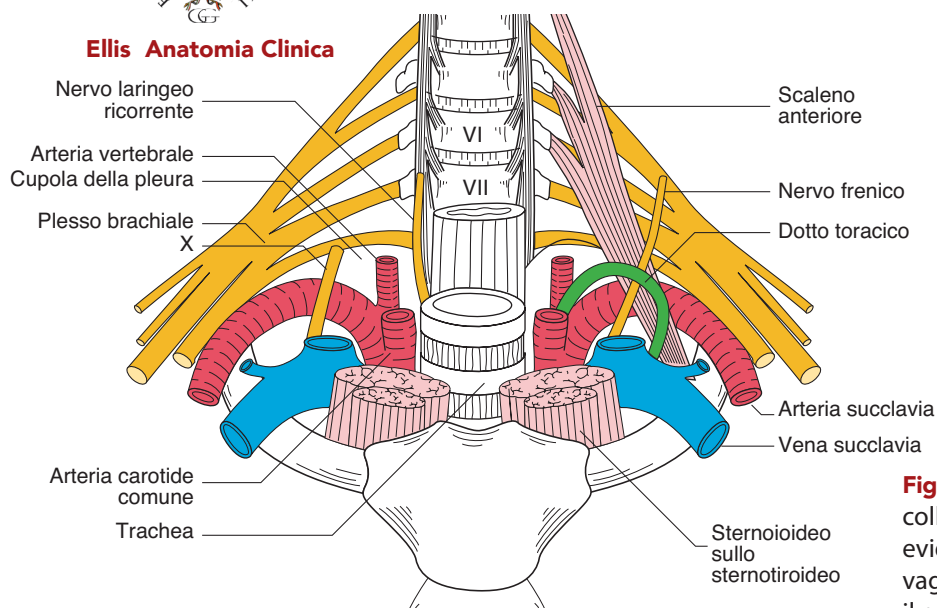


Figura 5.29 Radice del collo. Per chiarezza, sono evidenziati solo il nervo vago sulla destra e solo il nervo frenico a sinistra.



Ellis Anatomia Clinica

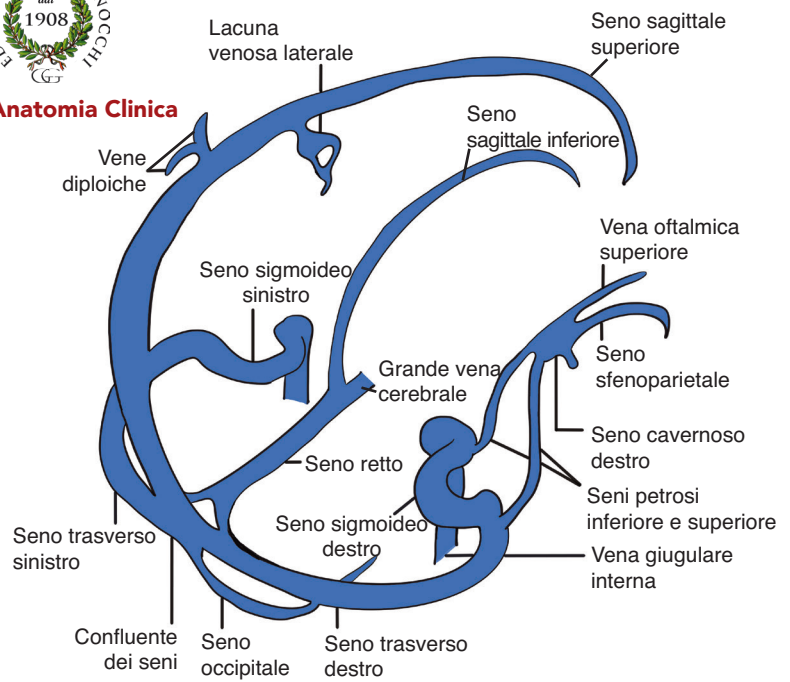
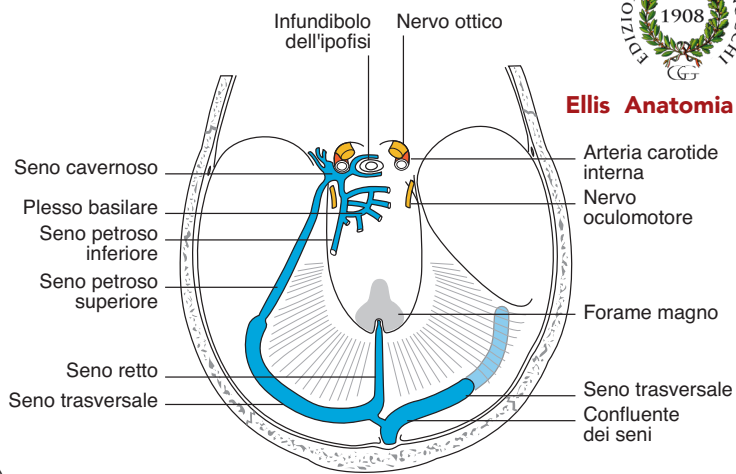
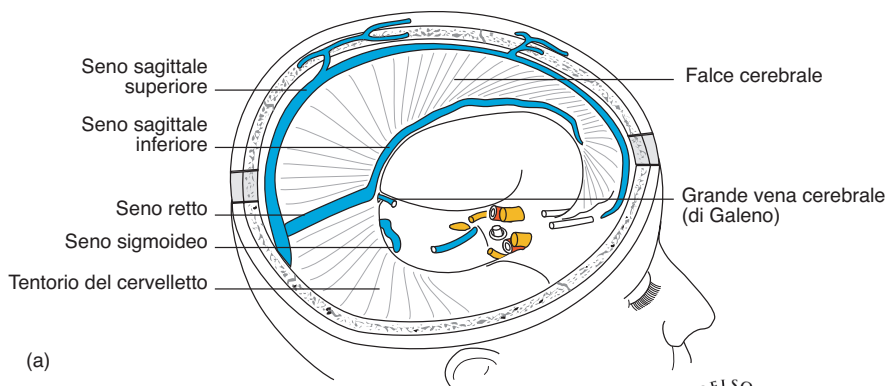


Figura 5.30 Schema dei principali vasi venosi intracranici.



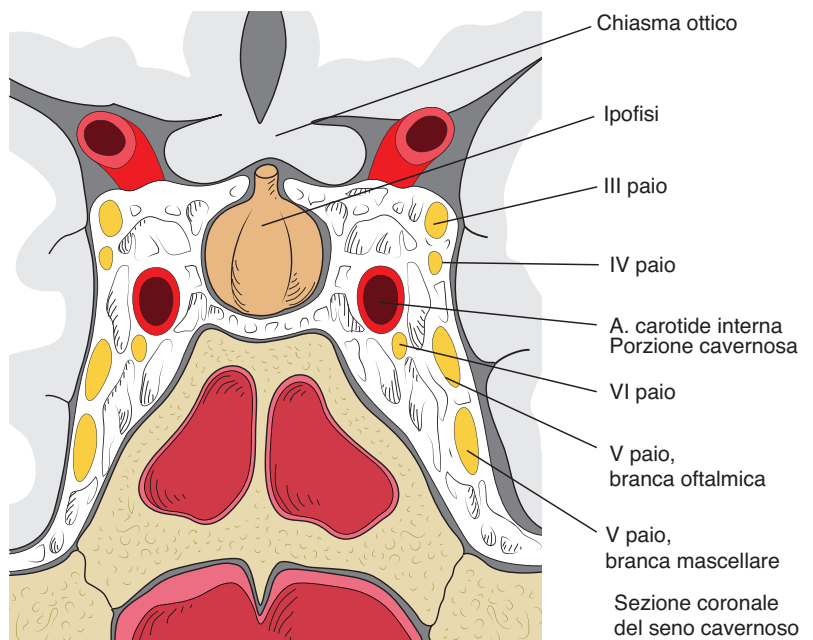
Ellis Anatomia Clinica

Figura 5.31 Seni durali venosi. (a) Veduta laterale. (b) Veduta superiore.



Ellis Anatomia Clinica

Figura 5.32 Il seno cavernoso in sezione coronale.





Ellis Anatomia Clinica

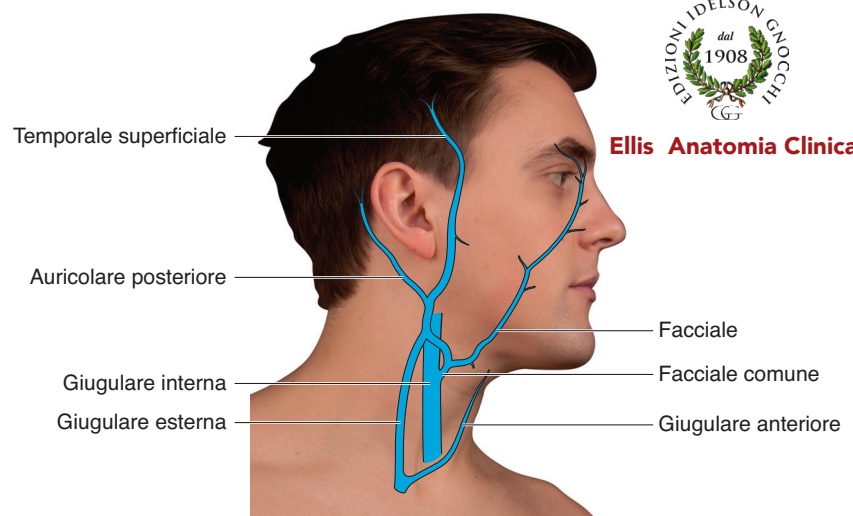


Figura 5.33 Disposizione normale delle vene nel collo.



Ellis Anatomia Clinica

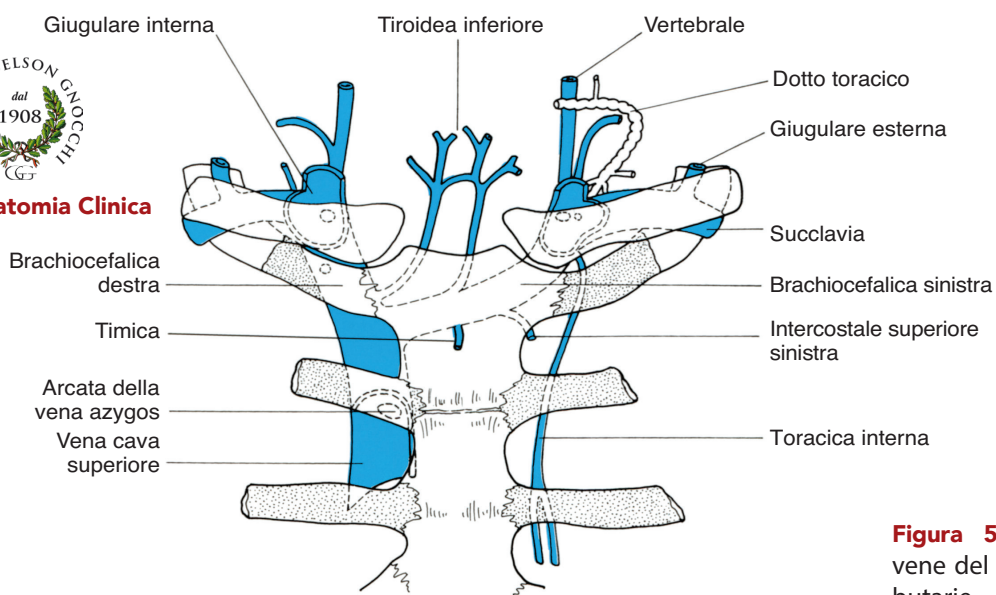


Figura 5.34 Le grandi vene del collo e loro tributarie.

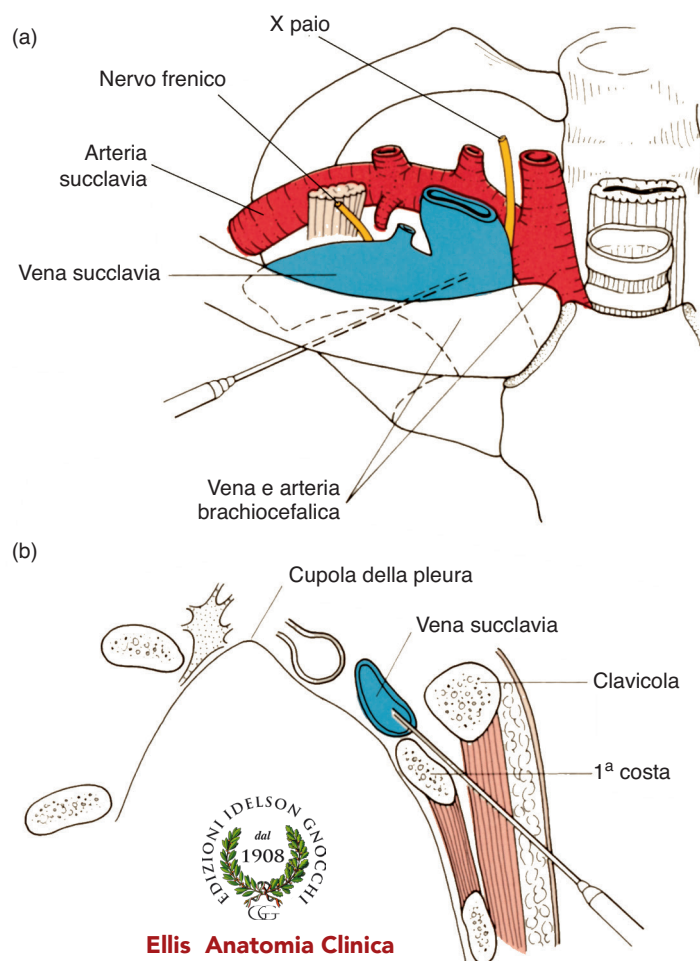


Figura 5.35 Anatomia dell'approccio infraclavicolare alla vena succlavia. (a) Veduta anteriore. (b) In sezione sagittale.

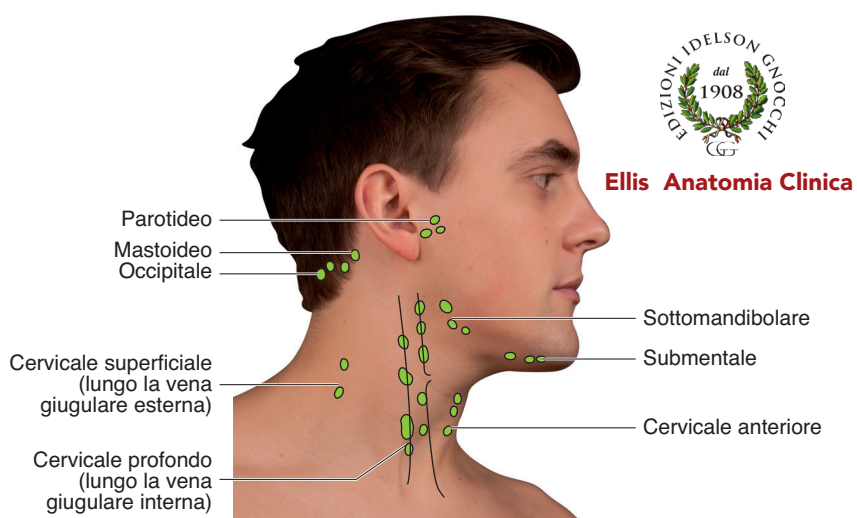
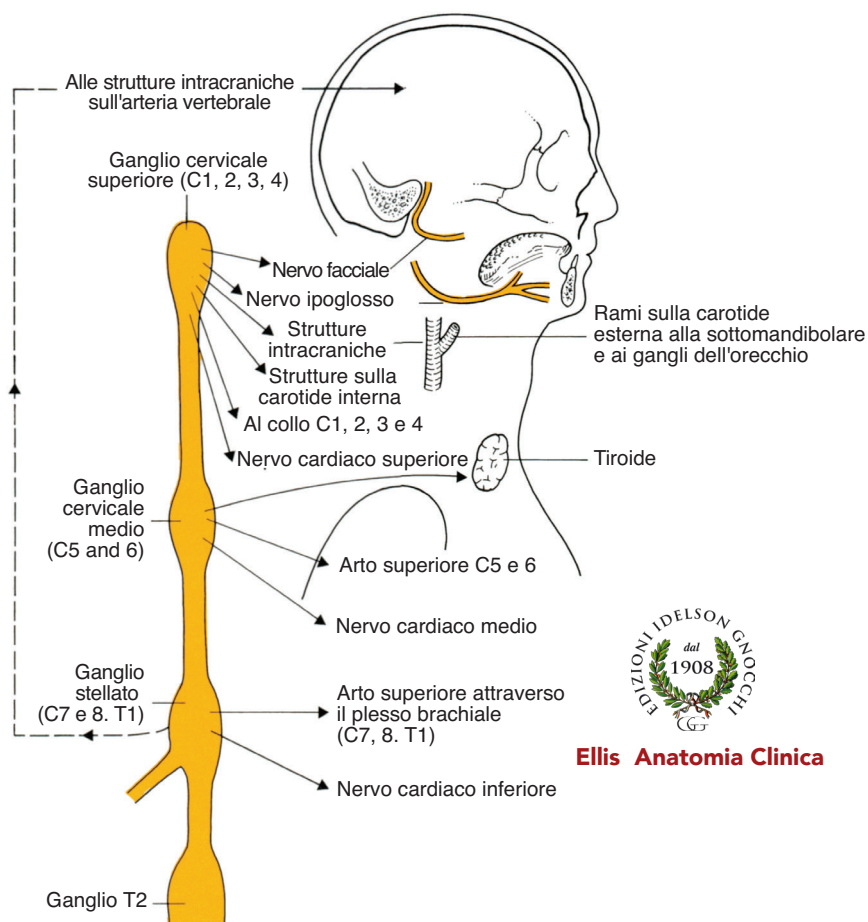


Figura 5.36 Schema dei linfonodi della testa e del collo.



Ellis Anatomia Clinica

Figura 5.37 Catena sim-
patica cervicale.

Tabella 5.1 Strutture che si originano dagli archi faringei durante lo sviluppo embrio-fetale (*si osservi che il quinto arco scompare).

| Arco faringeo | Elementi scheletrici (cresta neurale più mesoderma) | Archi, arterie (mesoderma) | Muscoli (mesoderma) | Nervi cranici (tubo neurale) |
|---------------|---|--|--|--|
| 1 | Incudine e martello (dalla cresta neurale); mandibola, mascella e regioni dell'osso temporale (dal mesenchima del derma) | Ramo massellare della carotide (all'orecchio, al naso, alla mandibola) | Muscoli masticatori; pavimento della bocca; muscoli dell'orecchio e del palato molle | Ramo massellare e ramo mandibolare del nervo trigemino (V) |
| 2 | Staffa dell'orecchio medio; processo stiloideo dell'osso temporale; parte dell'osso ioide del collo (tutti dalla cartilagine derivata dalla cresta neurale) | Arterie della regione dell'orecchio: arteria cortico-timpanica (adulto); arteria stapedia (embrione) | Muscoli mimici della faccia; muscoli masticatori e muscoli della parte superiore del collo | Nervo facciale (VII) |
| 3 | Parte inferiore e grandi corna dell'osso ioide (dalla cresta neurale) | Arteria carotide comune; radice della carotide interna | Stilofaringeo (elevatore della faringe) | Nervo glossofaringeo (IX) |
| 4 | Cartilagini della laringe (dal mesoderma della lamina laterale) | Arco aortico; arteria succlavia destra; primordi delle arterie polmonari | Costrittori della faringe e corde vocali | Ramo laringeo superiore del nervo vago (X) |
| 6* | Cartilagini della laringe (dal mesoderma della lamina laterale) | Dotto arterioso; radici delle arterie polmonari definitive | Muscoli intrinseci della laringe | Ramo laringeo ricorrente del nervo vago (X) |





Ellis Anatomia Clinica

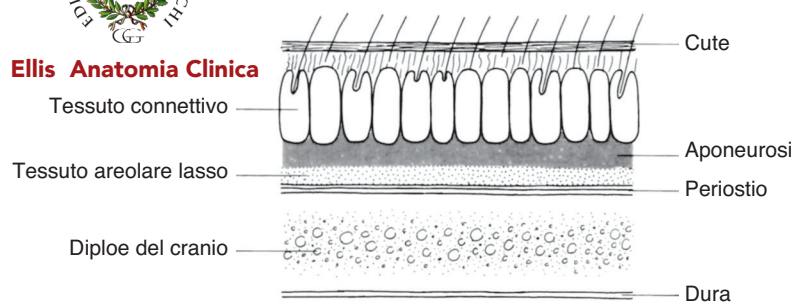


Figura 5.38 Strati del cuoio capelluto.

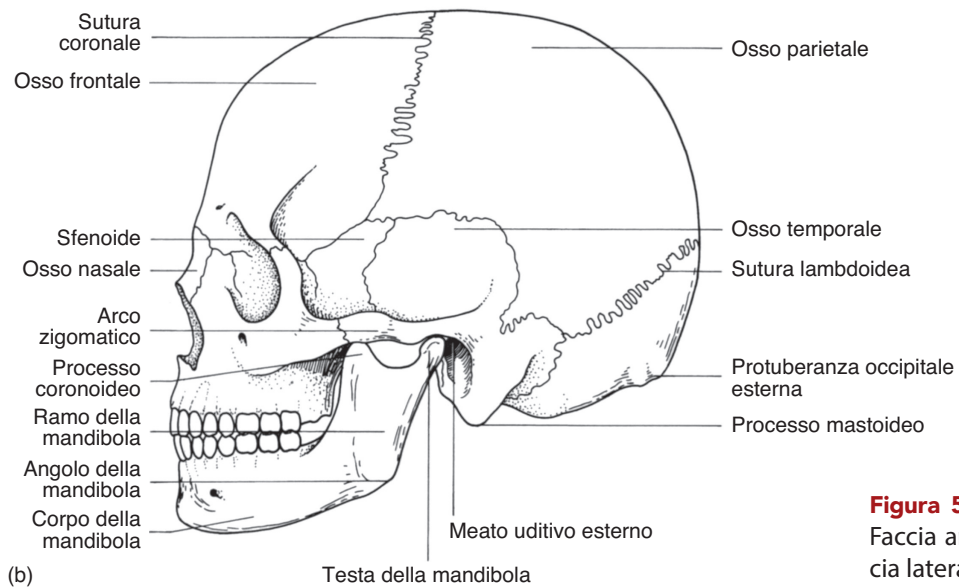
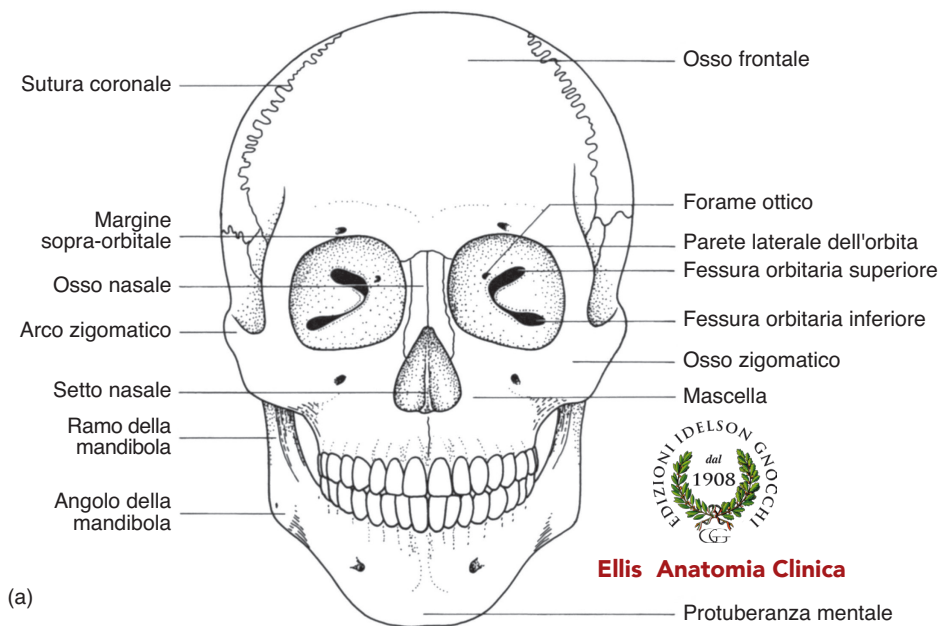
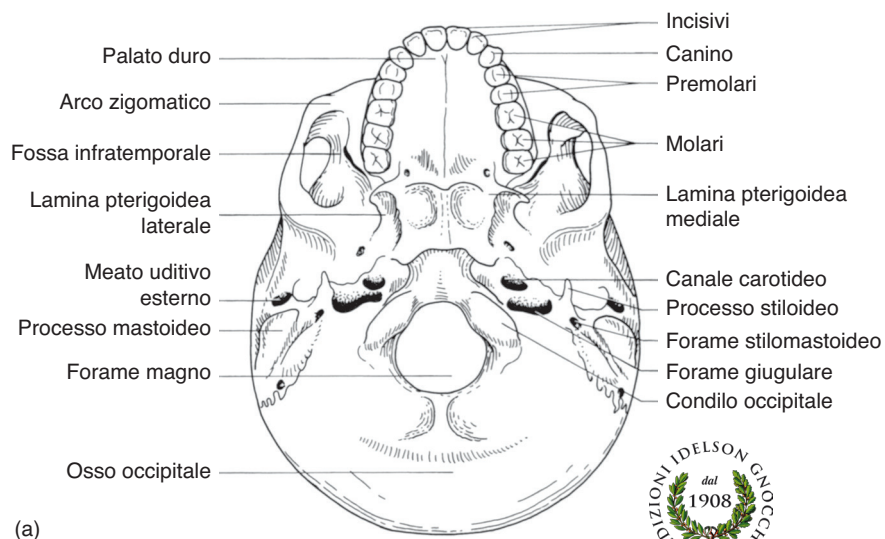


Figura 5.39 Il cranio. (a) Faccia anteriore. (b) Faccia laterale.



Ellis Anatomia Clinica

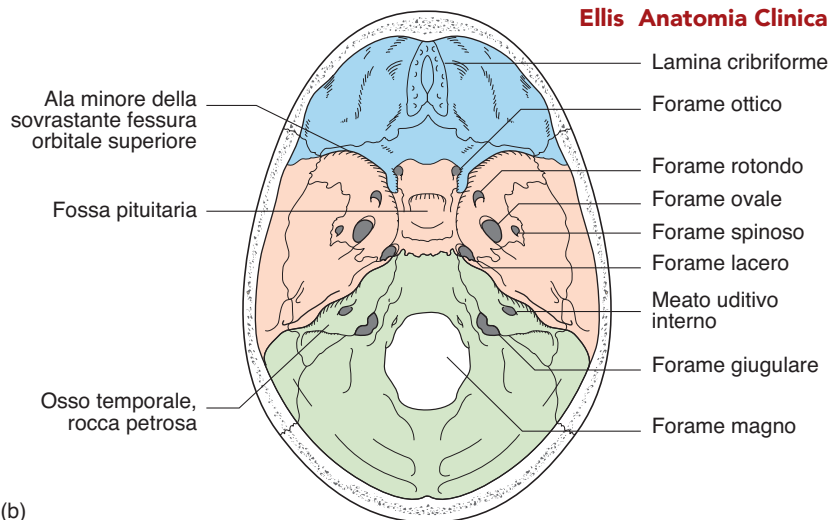
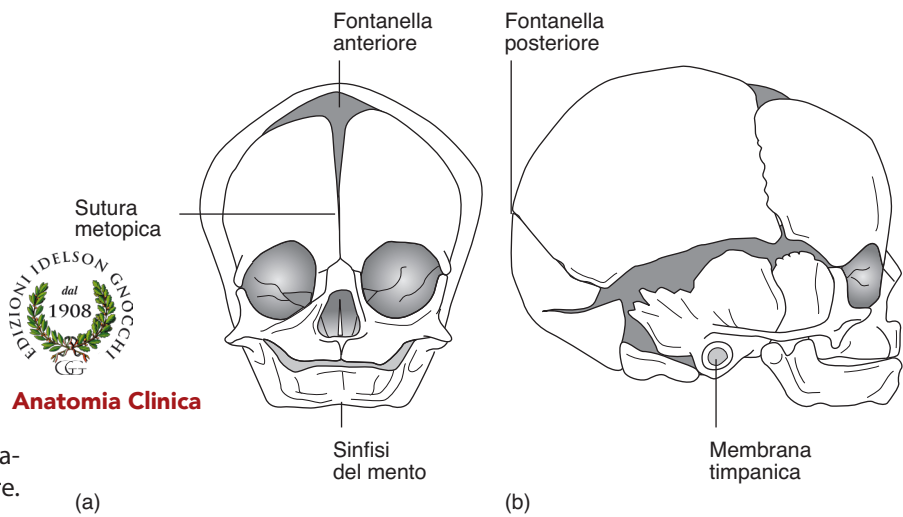


Figura 5.40 Il cranio.
(a) Faccia inferiore. (b) Pavimento della cavità cranica; le fosse craniche anteriore, media e posteriore sono indicate con colori differenti.



Ellis Anatomia Clinica

Figura 5.41 Cranio fetale. (a) Visione anteriore. (b) Visione laterale.

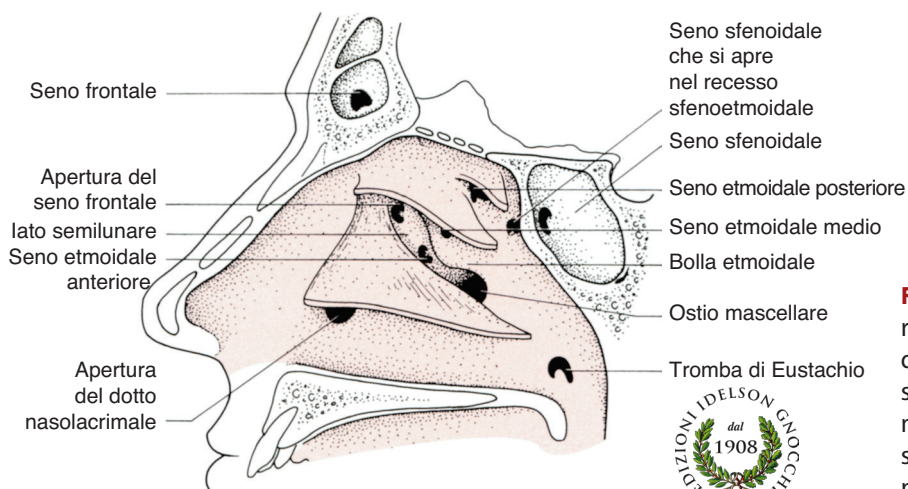
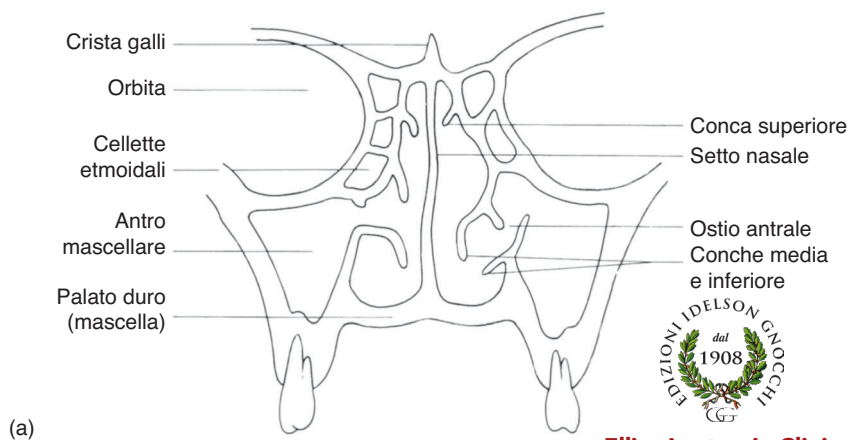


Figura 5.42 Parete laterale della cavità nasale destra; le conche sono state rimosse parzialmente per mostrare le strutture che drenano nel naso.



Ellis Anatomia Clinica



Ellis Anatomia Clinica

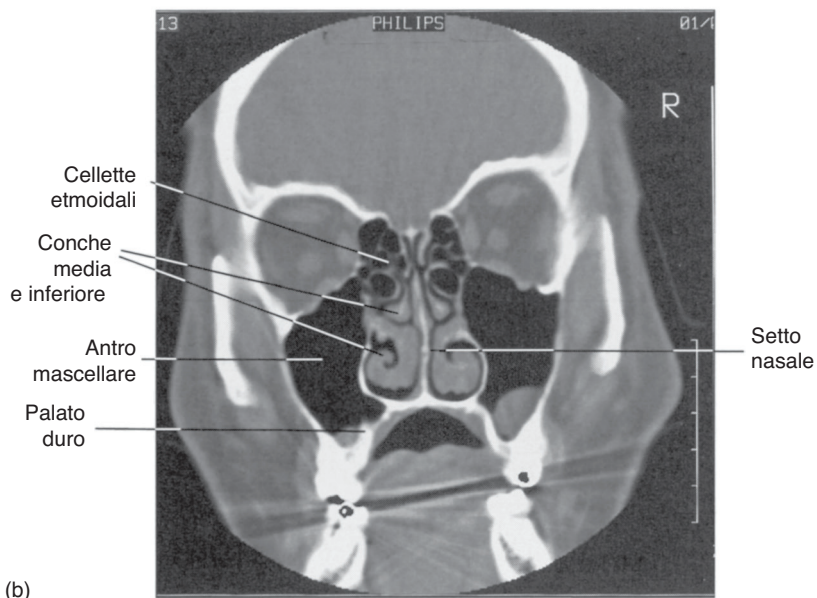


Figura 5.43 (a) Antro mascellare in sezione coronale. Si osservi il drenaggio limitato di questo antro, rispetto alla sua dimensione, e la sua stretta relazione inferiore con i denti. (b) Corrispondente scansione TC.

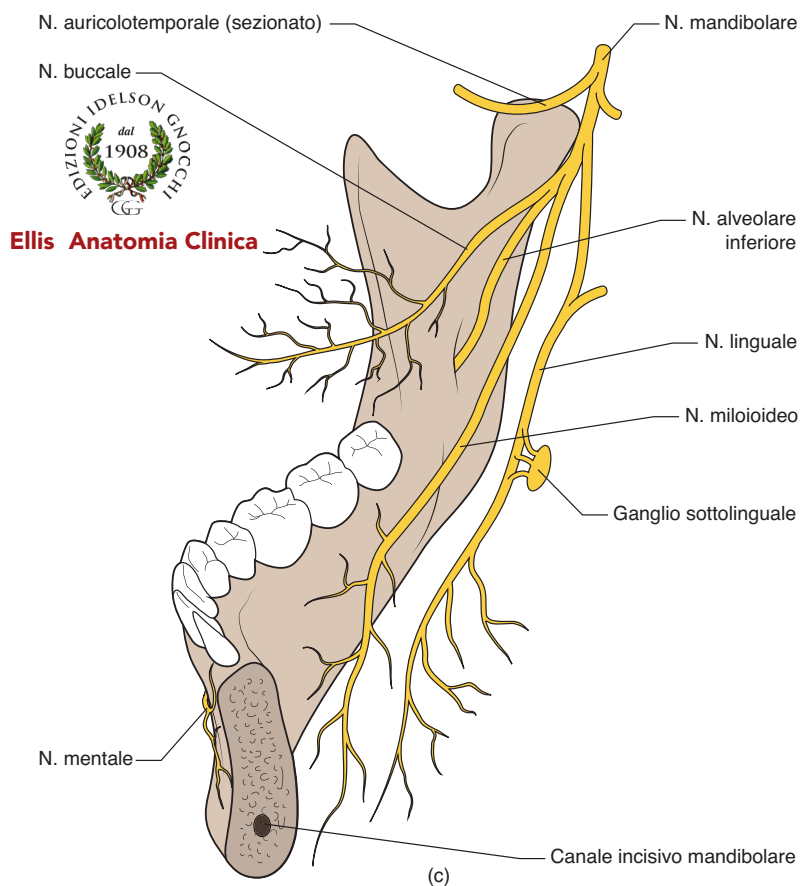
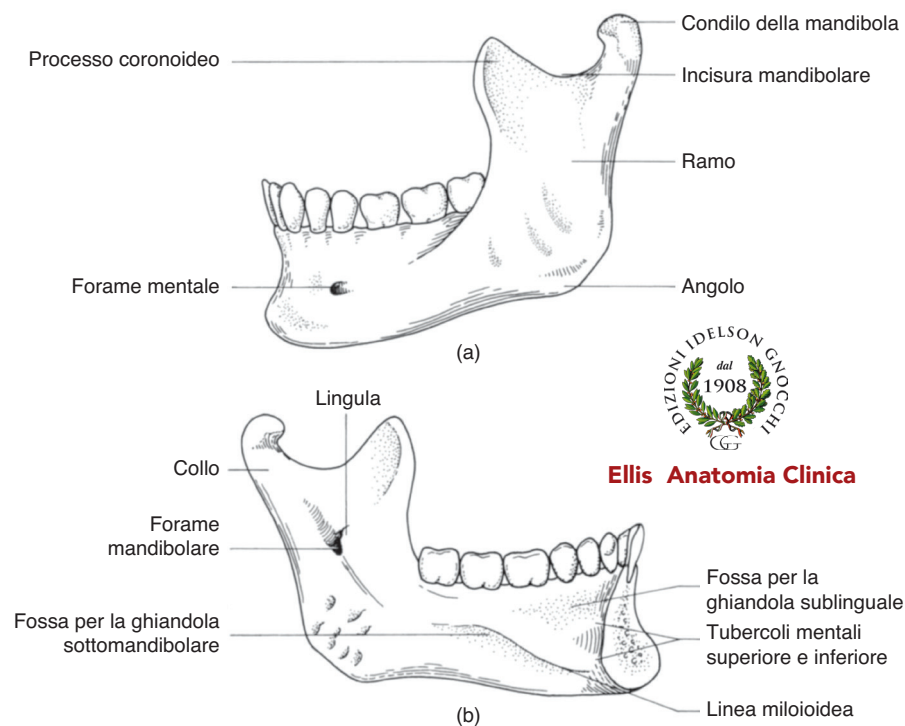


Figura 5.44 La mandibola. (a) Faccia laterale. (b) Faccia mediale. (c) Viene mostrato il nervo alveolare inferiore, nel punto in cui penetra nel forame mandibolare, per poi riemergere dal forame mentale come nervo mentale. Sono anche mostrati gli altri principali nervi della regione.

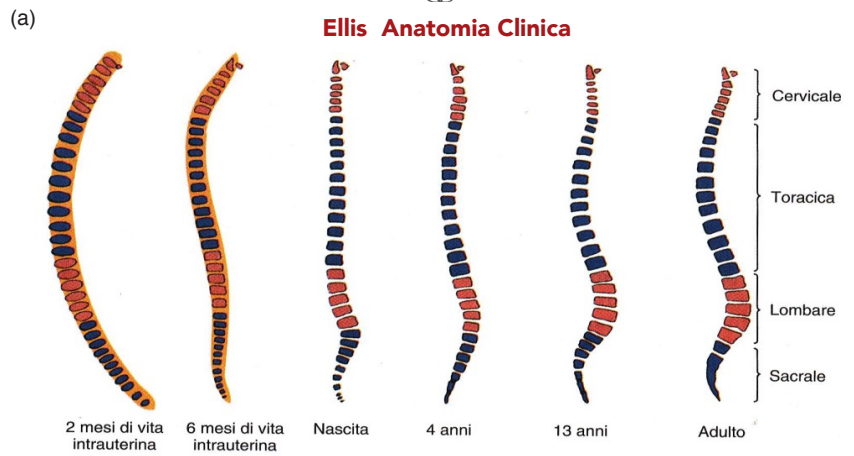
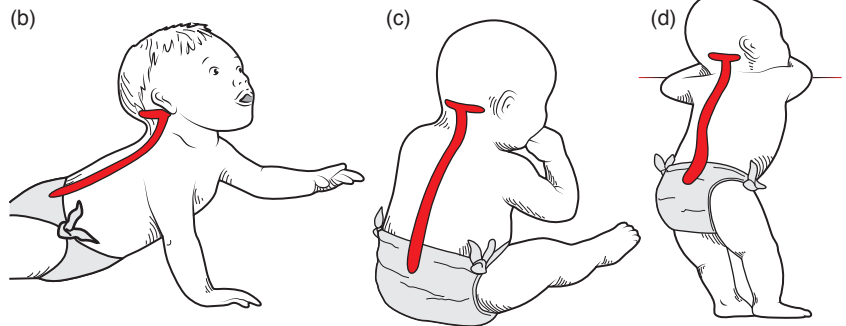
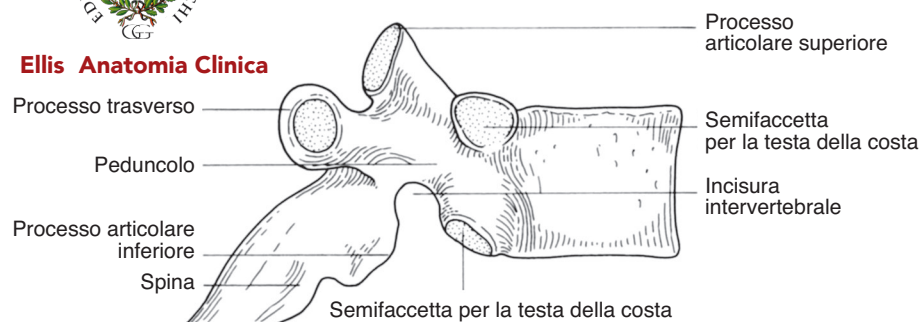


Figura 5.45 Lo sviluppo delle curve della colonna vertebrale. (a) Schema che mostra le curve in varie epoche della vita. (b) e (c) Momenti funzionali che determinano l'inversione della curva e formazione della lordosi cervicale. (d) L'inversione della curva lombare si ha con l'acquisizione della posizione eretta.

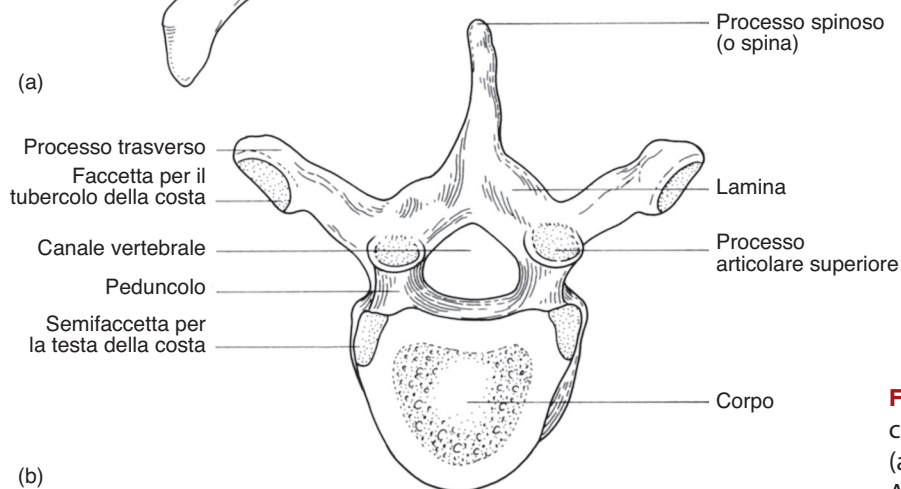




Ellis Anatomia Clinica



(a)



(b)

Figura 5.46 Una “tipica” vertebra toracica. (a) Aspetto laterale. (b) Aspetto superiore.



Ellis Anatomia Clinica

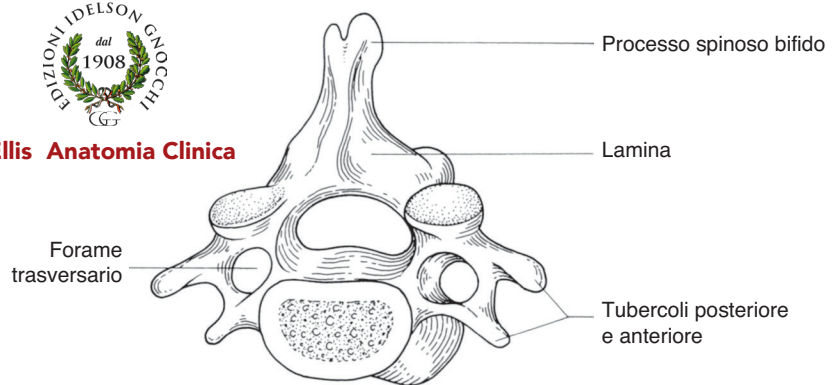
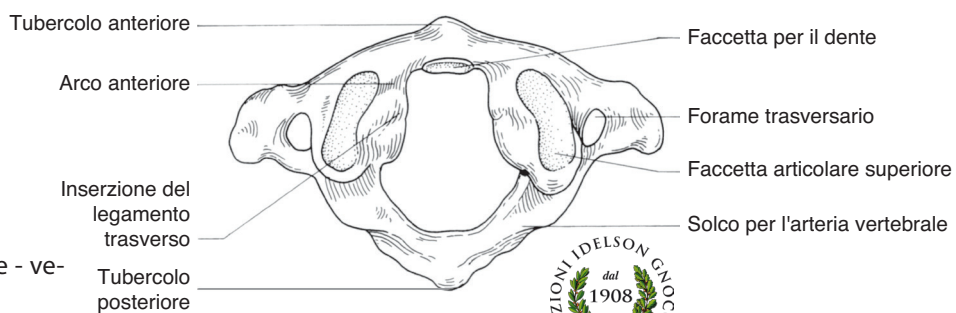


Figura 5.47 Una "tipica" vertebra cervicale.

Figura 5.48 Atlante - veduta superiore.



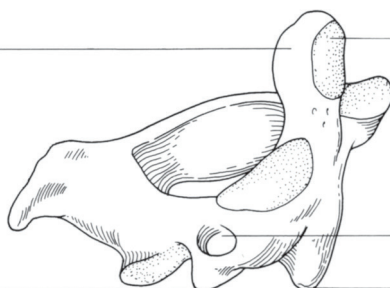
Ellis Anatomia Clinica

Dente
(processo odontoideo)



Ellis Anatomia Clinica

Processo
trasverso



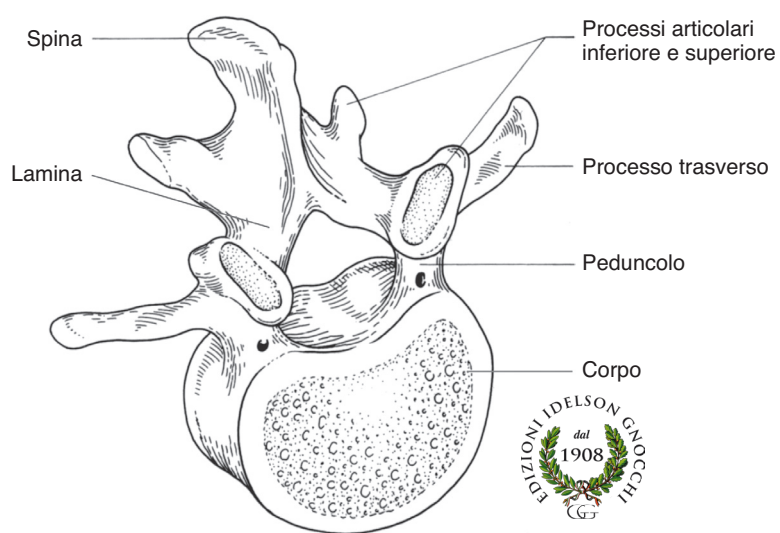
Faccetta per l'arco
anteriore dell'atlante

Forame
trasversario

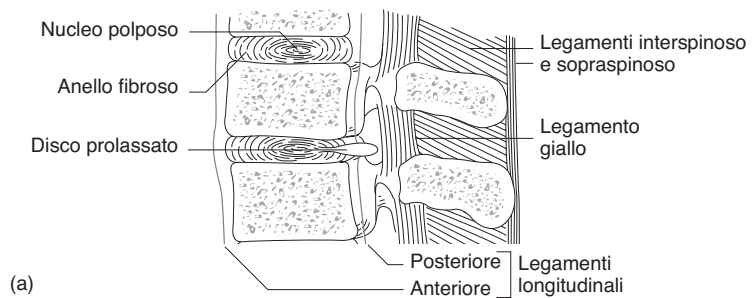
Corpo

Figura 5.49 L'epistrofeo
in veduta laterale obli-
qua.

Figura 5.50 Vertebra lombare (faccia superiore).



Ellis Anatomia Clinica



Ellis Anatomia Clinica

Disco intervertebrale
con nucleo
polposi centrale

Terminazione del
midollo spinale

Promontorio
sacrale

Terminazione
del sacco durale

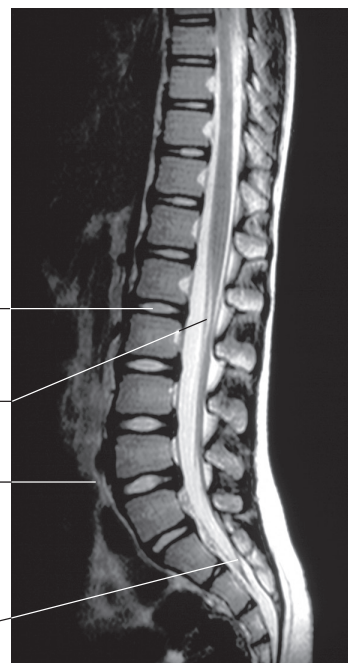


Figura 5.51 (a) Sezione longitudinale attraverso le vertebre lombari che mostra un disco intervertebrale normale e uno prolassato. (b) Risonanza magnetica (RM) di una normale colonna lombare e del sacro. Si osservi l'eccellente definizione dei dettagli anatomici.



Ellis Anatomia Clinica

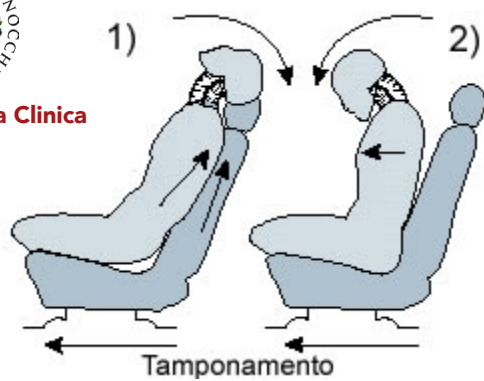


Figura 5.52 Le due fasi del danno provocato da un colpo di frusta: 1: Danno da iperestensione; 2: Danno da iperflessione.